

CURSO DE POSTGRADO-(Concepción- -03-2014)

Luis P. Chimento Departamento de Física, Facultad de Ciencias Exactas y Naturales-UBA e IFIBA-CONICET, Buenos Aires, Argentina

INTERACCIONES EN EL SECTOR OSCURO

Contenidos del curso

1 - INTRODUCCION

- a. Principio cosmológico - Universo isótropo y homogéneo
- b. Repaso del modelo de uno (unificado) y dos (agregados) fluidos en FRW
- c. Ecuación de estado lineal

2 - FLUIDO EFECTIVO Y ECUACIÓN DE LA FUENTE

- a. Descripción de fluido efectivo
- b. Planteo general para dos fluidos con ecuaciones de estado lineal
- c. Ecuación de la fuente

3 - LA EVOLUCION DEL SECTOR OSCURO

- a. Materia Oscura
- b. Energía oscura, quintaesencia y k-esencia
- c. Condiciones para la existencia del atractor
- d. La solución atractora - Estabilidad asintótica
 - Existencia y estabilidad de la solución tipo ley de potencia (power law)
- e. El problema de la coincidencia

4 - INTERACCIONES LINEALES

- a. Interacciones lineales I
- b. Ejemplos I
- c. Interacciones lineales II
- d. Interacción lineal general y modelo Λ CDM

5 - INTERACCIONES NO LINEALES

- a. Caso homogéneo - Ejemplos
- b. Caso inhomogéneo y el “gas de Chaplygin relajado”
- c. El gas de Chaplygin como un modelo de dos fluidos
- d. El “gas de Chaplygin” como un modelo transitorio

6 - MODELO DE TRES FLUIDOS ACOPLADOS EN FRW

- a. Planteo general para tres fluidos con ecuaciones de estado lineal
- b. Ecuación de la fuente
- c. Espacio interno - Interacción transversal - Solución general
- d. Ejemplo: campo escalar + materia
- e. Reconstrucción del campo y potencial

7 - CONCLUSIONES

Bibliografía

Interacting dark sector with variable vacuum energy

Luis P. Chimento, Martin G. Richarte and Ivan E. Sanchez G., Phys.Rev. D88 (2013) 087301.

4-Nonbaryonic dark matter and scalar field coupled with a transversal interaction plus decoupled radiation

Luis P. Chimento and Martín G. Richarte, Eur.Phys.J. C73 (2013) 2497.

Dark radiation and dark matter coupled to holographic Ricci dark energy

Luis P. Chimento and Martín G. Richarte, Eur. Phys. J. C73 (2013), 2352.

Modified holographic Ricci dark energy coupled to interacting dark matter and a non interacting baryonic component

Luis P. Chimento, Mónica Forte, and Martín G. Richarte, Eur. Phys. J. C73 (2013) 2285.

Self-interacting holographic dark energy

Luis P. Chimento, Mónica Forte and Martin G. Richarte, Mod. Phys. Lett. A (2012).

3-Dark matter, dark energy, and dark radiation coupled with a transversal interaction

Luis P. Chimento and Martin G. Richarte, Phys. Rev. D 86, 103501, (2012).

Dark matter and Ricci-like holographic dark energy coupled through a quadratic interaction

Luis P. Chimento and Martin G. Richarte, AIP Conf.Proc. 1471 (2011) 45-50.

Interacting dark matter and modified holographic Ricci dark energy plus a noninteracting cosmic component

Luis P. Chimento and Martin G. Richarte, Phys. Rev. D85 (2012) 127301.

Holographic dark energy linearly interacting with dark matter

Luis P. Chimento, Martin G. Richarte and Mónica Forte., AIP Conf.Proc. 1471 (2011) 39-44. C11-08-01.7

2-Exactly solved models of interacting dark matter and dark energy

Luis P. Chimento. AIP Conf.Proc. 1471 (2011) 30-38. Conference: C11-08-01.7

Interacting dark matter and modified holographic Ricci dark energy induce a relaxed Chaplygin gas

Luis P. Chimento and Martin G. Richarte, Phys. Rev. D 84, 123507 (2011), 1-10.

1-Linear and nonlinear interactions in the dark sector

Chimento Luis P., Phys. Rev. D 81, 043525 (2010) 1-16

Cosmological model with interactions in the dark sector

Chimento Luis P., Forte Mónica I. and Kremer Gilberto M., Gen. Relativ. Gravit. 41,-NS (2009) 1125-1137.

Modelo de un fluido

Universo isotropo y homogeneo

$$FRW \rightarrow ds^2 = dt^2 + \alpha^2(t) [dx^2 + dy^2 + dz^2]$$

$$\text{E.E.} \begin{cases} 3H^2 = \rho \\ \dot{\rho} + 3H(\rho + p) = 0 \end{cases} \quad H = \frac{\partial}{\partial t}$$

$$(a, \rho, p) \rightarrow p = (8 - 1)\rho ; \quad \delta = \frac{\rho + p}{\rho} \begin{matrix} \text{índice} \\ \text{barotrópico} \end{matrix}$$

$$\delta = \delta_s \rightarrow \delta_s^2 = \frac{\partial \rho}{\partial p} = \delta_s - 1 \Rightarrow 1 \leq \delta \leq 2$$

$$\dot{\rho} + 3H\delta\rho = 0 \Rightarrow \rho = \frac{\rho_0}{t^{3\delta}} \Rightarrow a = a_0 t^{\frac{1}{3\delta_s}} \quad (\text{R.L})$$

$$\Rightarrow \rho \propto \frac{1}{t^3} \Rightarrow \rho \rightarrow \infty \text{ para } t \rightarrow 0$$

$$6H\dot{H} = \ddot{\rho} = -3H(\rho + p) \Rightarrow -2H = \rho + p$$

$$\delta = \frac{\rho + p}{\rho} = -\frac{2H}{3H^2} \Rightarrow H = \frac{2}{3\delta_0 t}$$

Notar que

$$\delta_{\text{p.c.}} = \delta(a = a_0 t^{\frac{1}{3\delta_s}}) = \delta_s = \text{cte.}$$

Nos encontraremos en factores de escala tipo "Ley de Potencias"

$$\ddot{a} = a_0 t^{\frac{2}{3\delta}}$$

Universo en expansión: $\dot{a} > 0 \Rightarrow H > 0$

contracción: $\dot{a} < 0 \Rightarrow H < 0$

Universo acelerado: $\ddot{a} > 0 \Rightarrow H^2 - \dot{H} > 0$

desacelerado: $\ddot{a} < 0 \Rightarrow H^2 - \dot{H} < 0$

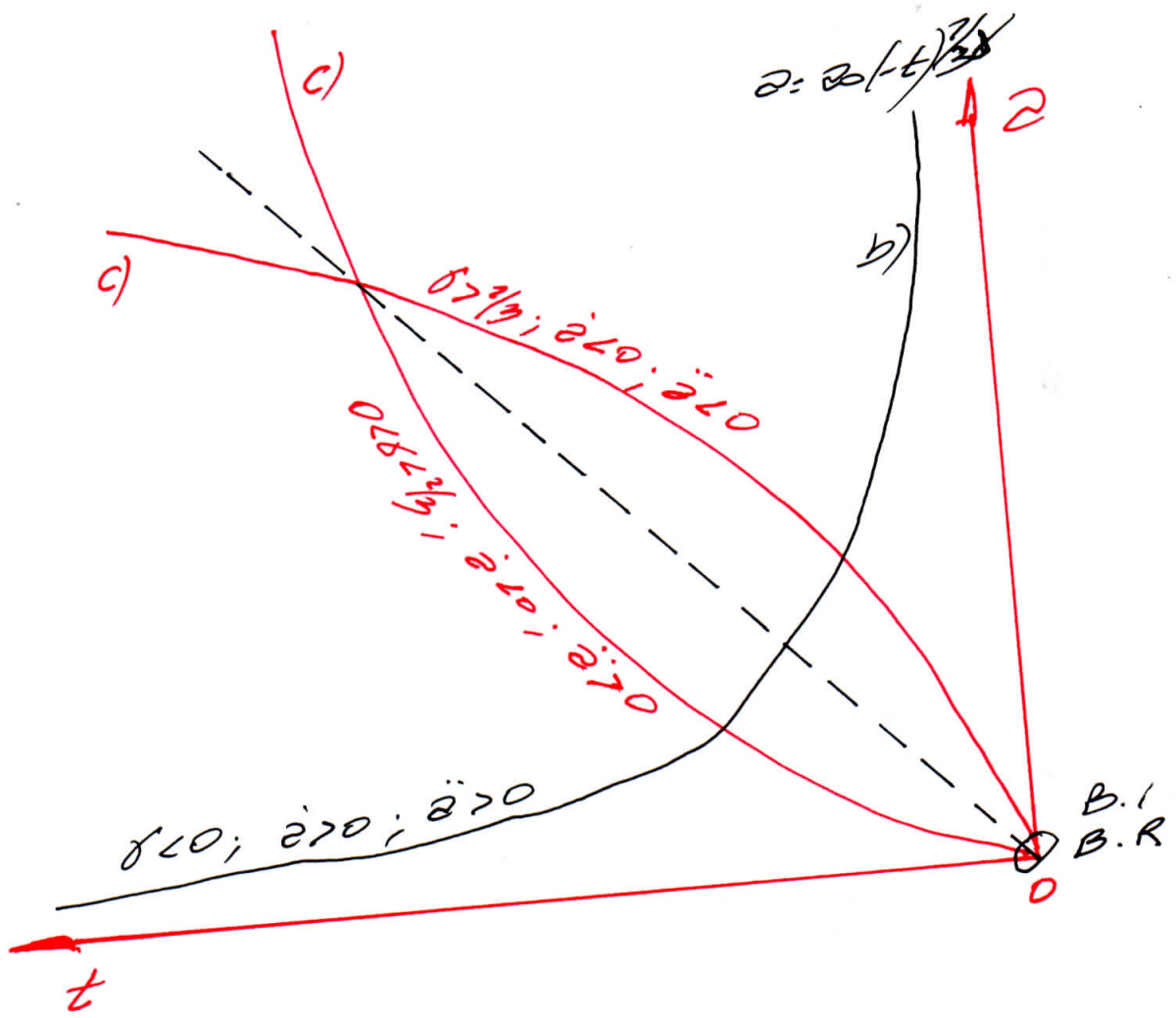
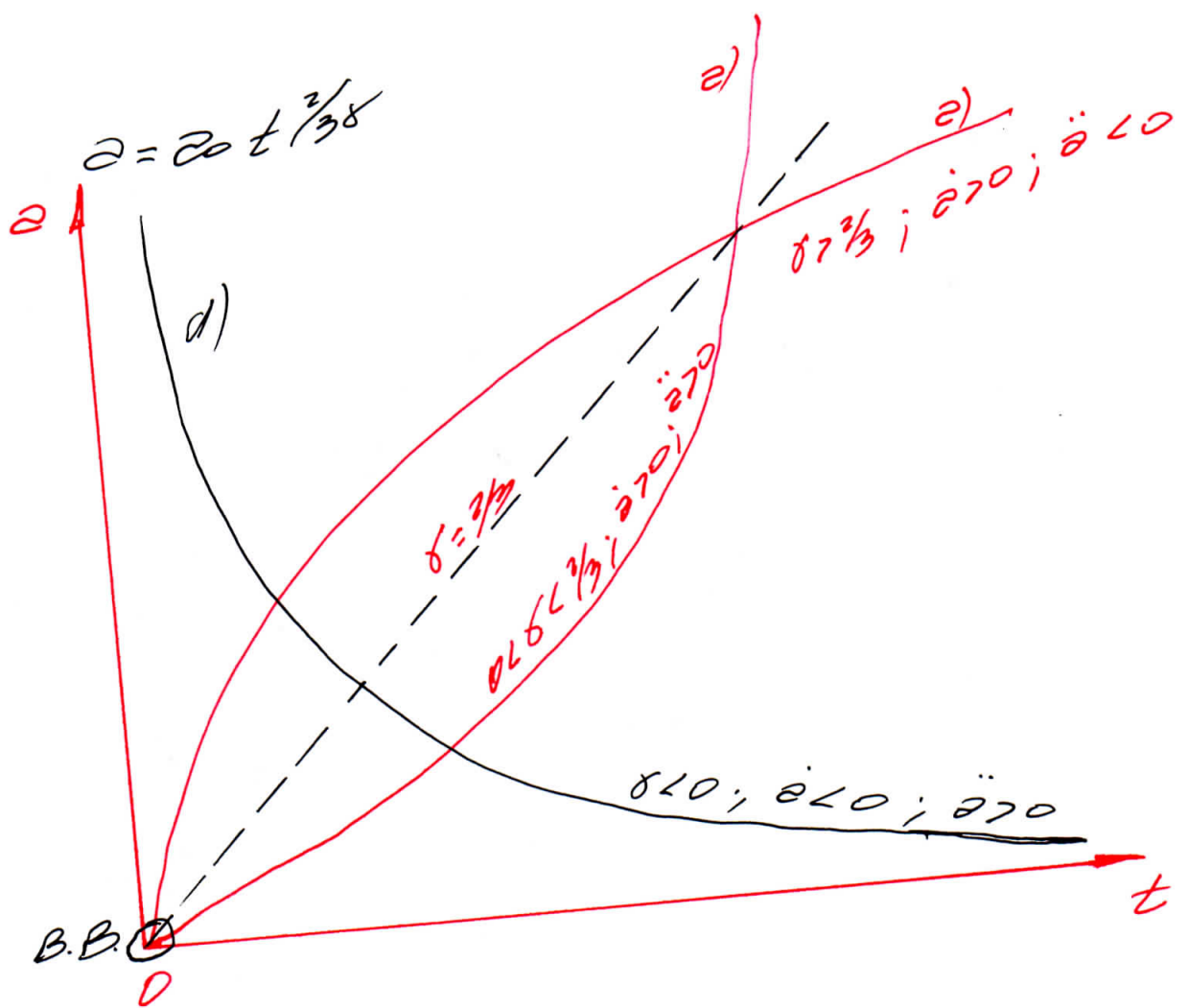
$$H = \frac{3}{3\delta t} ; \quad \ddot{a} = \frac{2(2-3\delta)}{9\delta^2 t^2}$$

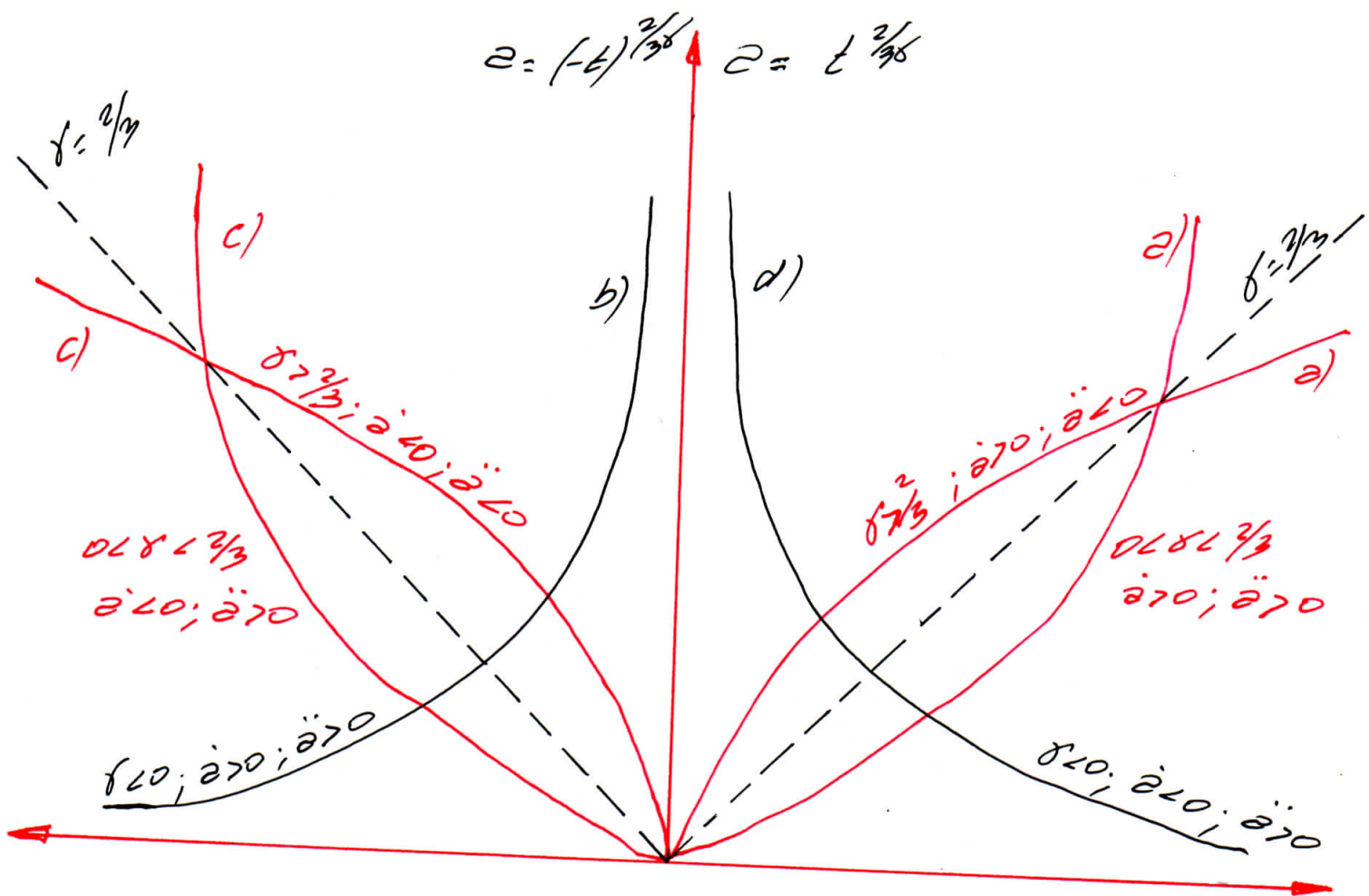
a) $H > 0; \delta > 0; t > 0 \rightarrow \begin{cases} \delta > \frac{2}{3} \Rightarrow \ddot{a} < 0 \\ 0 < \delta < \frac{2}{3} \Rightarrow \ddot{a} > 0 \end{cases}$

b) $H > 0; \delta < 0; t < 0 \Rightarrow \ddot{a} > 0$

c) $H < 0; \delta > 0; t < 0 \rightarrow \begin{cases} \delta > \frac{2}{3} \Rightarrow \ddot{a} < 0 \\ 0 < \delta < \frac{2}{3} \Rightarrow \ddot{a} > 0 \end{cases}$

d) $H < 0; \delta < 0; t > 0 \Rightarrow \ddot{a} > 0$





$$\left\{ \begin{array}{l} 3H^2 = \rho \\ \dot{\rho} + 3H(\rho + p) = 0 \\ \rho = (n-1)p, \delta = \text{def} \end{array} \right\} \Rightarrow \rho = \frac{\rho_0}{t^{3n}} \quad \left\{ \begin{array}{l} 3H^2 = \frac{\rho_0}{t^{3n}} \\ 3(nH)^2 = \frac{n^2 \rho_0}{t^{3(n)}} \end{array} \right.$$

$$\rho_0 \rightarrow n^2 \rho_0; H \rightarrow nH \Rightarrow \omega \rightarrow \omega' \Rightarrow \delta \rightarrow \frac{\delta}{n}$$

$$\omega = t^{2/3}\delta \rightarrow t^{2/3}\omega' = t^{2/3}\delta \quad \{ \text{Invariancia de forma} \}$$

Además inversión temporal $t \rightarrow -t$

a) $H\delta > 0 \Rightarrow \rho < 0$

$\dot{\rho} + 3H\rho = 0; b) H\delta < 0 \Rightarrow \dot{\rho} > 0 \Rightarrow$ Big Rip

c) $H\delta < 0 \Rightarrow \dot{\rho} > 0 \Rightarrow$ Big Crunch

d) $H\delta > 0 \Rightarrow \dot{\rho} < 0$

Modelo de 1 fluido

$$\begin{cases} 3A^2 = P \\ P + 3A(P_C + P_X) = 0 \end{cases} \quad (2, P, P_C, P_X)$$

Modelo de 2 fluidos (1)

$$\begin{cases} 3A^2 = P_C + P_X \\ P_C + 3A(P_C + P_X) = 0 \\ P_X + 3A(P_X + P_C) = 0 \end{cases} \quad (2, P_C, P_X, P_C + P_X)$$

$$\begin{cases} P_C = (\delta_C - 1)P_C \\ P_X = (\delta_X - 1)P_X \end{cases} \quad \text{El modelo se cierra}$$

Modelo de 2 fluidos (2)

$$\begin{cases} 3A^2 = P_C + P_X \\ P_C + P_X + 3A(P_C + P_X + P_X + P_C) = 0 \end{cases} \quad \dots \dots \dots \dots \dots \dots \dots \dots \dots$$

$$\begin{cases} P_C = (\delta_C - 1)P_C \\ P_X = (\delta_X - 1)P_X \end{cases} \quad 0 < \delta_X < \delta < \delta_C \quad \delta_C, \delta_X = \text{ctes}$$

Modelos de 1 fluido y modelos de 2 fluidos con interacción e ecuaciones de estado constantes son "isomorfos"

Modelo efectivo o unificado

$$\begin{aligned} P &= \rho_C + \rho_X = (\delta_C - 1)P_C + (\delta_X - 1)P_X = \delta_C P_C + \delta_X P_X - \rho \\ &= (\delta_e - 1)\rho \quad \Rightarrow \quad \delta_C P_C + \delta_X P_X = \delta_e \rho \\ \delta_e &= \frac{\delta_C P_C + \delta_X P_X}{\rho} \quad \Rightarrow \quad \delta_X < \delta_e < \delta_C \end{aligned}$$

$\Rightarrow \delta_e$ efectivo es variable

$$\delta_e = \text{cte} \Rightarrow P_C \approx P_X$$

Concluimos que un modelo de dos fluidos en interacción con ecuaciones de estado constante es equivalente a un modelo de un solo fluido efectivo o unificado descrito por

$$\begin{cases} 3H^2 = \rho \\ \dot{\rho} + 3H\delta_e \rho = 0 \end{cases}$$

$$\rho = 1/\delta_e - 1/H$$

Para simplificar las ecuaciones definimos un nuevo tiempo \tilde{t} por

$$d\tilde{t} = 3H dt = d\ln \rho^3 \Rightarrow \tilde{t} = \ln \left(\frac{\rho}{\rho_0} \right)^3$$

$$\begin{cases} 3H = \rho \\ \dot{\rho} + \delta_e \rho = 0 \end{cases}$$

Como procedemos

$$\rho = (\gamma - 1) f \rightarrow \rho' + \delta \rho = 0 \Rightarrow f = P(\rho)$$

$$\begin{cases} \rho = \rho_c + \rho_x \\ -\rho' = \delta_c \rho_c + \delta_x \rho_x \end{cases} \quad \Delta = \delta_c - \delta_x$$

$$\rho_c = - \frac{\delta_x \rho + \rho'}{\Delta} ; \quad \rho_x = \frac{\delta_c \rho + \rho'}{\Delta}$$

$$\rho'_c + \delta_c \rho_c = -\rho'_x - \rho_x \delta_x = -Q$$

$$\begin{cases} 3H^2 = \rho_c + \rho_x \\ \rho'_c + \rho'_x + \delta_c \rho_c + \delta_x \rho_x = 0 \rightarrow \\ \left. \begin{array}{l} \rho_c = (\gamma_c - 1) f_c \\ \rho_x = (\gamma_x - 1) f_x \end{array} \right\} + Q \end{cases} \quad \begin{cases} \rho'_c + \delta_c \rho_c = -Q \\ \rho'_x + \delta_x \rho_x = Q \end{cases}$$

$$(a, \rho_c, \rho_x, \rho'_c, \rho'_x, Q)$$

Q es un dato fenomenológico.
Generalmente depende del factor de escala a través de las densidades de energía y sus derivadas.

Estabilidad de las soluciones P. L.

Exigiremos que existan soluciones del tipo Ley de Potencia ($\delta_n \sim t^{\frac{1}{\lambda_{\text{pot}}}}$) estables.

Usamos como variable el índice barotrópico efectivo porque $\delta(\text{índice}) = \delta_s$

$$\delta P = \delta_c P_c + \delta_x P_x$$

$$(\delta P)' = \delta_c [\rho' - Q + \delta_x P_x] + \delta_x [\rho' + Q + \delta_c P_c]$$

$$\delta' - (\delta - \delta_c)(\delta - \delta_x) = - \frac{Q}{P} \Delta$$

Relación entre la ecuación del estado efectivo y la fenomenología

Interacción separable

$$Q = F(\delta)P = F\left(-\frac{\rho'}{\rho}\right)P$$

$$\delta' = G(\delta) \quad ; \quad \delta_x < \delta < \delta_c$$

Si $\delta = \delta_s = \text{const}$ es solución $\Rightarrow G(\delta_s) = 0$

$$\delta_s = -\frac{2\pi i}{3y^2} \Rightarrow Q = 2\pi i t^{\frac{2}{3}\delta_s}$$

$$\delta = \delta_s + \varepsilon \Rightarrow G(\delta) \approx G(\delta_s) + \frac{dG}{d\delta}(\delta_s)(\delta - \delta_s) + \dots$$

$$\varepsilon' = G'(\delta_s)\varepsilon \Rightarrow \varepsilon = \varepsilon_0 e^{\frac{G(\delta_s)}{2}\tau}$$

$$\text{Si } \frac{dG}{d\delta}(\delta_s) = G'(\delta_s) = \frac{dG'}{d\delta}(\delta_s) < 0 \Rightarrow \begin{cases} \varepsilon \rightarrow 0 \\ \tau \rightarrow \infty \end{cases}$$

Luego δ_s es solución asintóticamente estable
 $\delta \rightarrow \delta_s \Rightarrow \varepsilon = t^{\frac{2}{3}\delta_s}$ es estable

Ejemplo

$$\delta = (\delta_s - \delta_c)(\delta_s - \delta_x) \frac{f}{\Delta}$$

$$\delta' = (\delta - \delta_c)(-\delta_x) - (\delta_s - \delta_c)(\delta_s - \delta_x) = G(\delta)$$

$$\delta'(\delta = \delta_s) = 0 \Rightarrow G(\delta_s) = 0$$

$$\frac{\partial G}{\partial \delta} \Big|_{\delta=\delta_s} = (\delta_s - \delta_x) + (\delta_s - \delta_c) = 2\delta_s - \delta_x - \delta_c < 0$$

Siempre que $\delta_s < \frac{\delta_c + \delta_x}{2}$

la solución $\delta = \delta_s$ es estable.